ТЕМПЕРАТУРНАЯ ЗАВИСИМОСТЬ ВЕРХНЕГО КРИТИЧЕСКОГО ПОЛЯ В НЕУПОРЯДОЧЕННОЙ МОДЕЛИ ХАББАРДА С ПРИТЯЖЕНИЕМ

Э. З. Кучинский a^* , Н. А. Кулеева a, М. В. Садовский a,b^{**}

^а Институт электрофизики Уральского отделения Российской академии наук 620016, Екатеринбург, Россия

 b Институт физики металлов им. М. Н. Михеева Уральского отделения Российской академии наук 620108, Екатеринбург, Россия

Поступила в редакцию 30 августа 2017 г.

Исследовано влияние разупорядочения на температурное поведение верхнего критического поля в модели Хаббарда с притяжением в рамках обобщенного DMFT $+\Sigma$ -подхода. Рассмотрена широкая область изменения потенциала притяжения U от предела слабой связи, где сверхпроводимость описывается моделью Бардина – Купера – Шриффера (БКШ), к пределу очень сильной связи, где переход в сверхпроводящее состояние связан с бозе-эйнштейновской конденсацией (БЭК) компактных куперовских пар, образующихся при температуре существенно выше температуры перехода в сверхпроводящее состояние, а также широкий интервал разупорядочения — от слабого до сильного, когда система находится в окрестности перехода Андерсона. Рост силы связи приводит к быстрому росту $H_{c2}(T)$, особенно в низкотемпературной области. В пределе БЭК и в области кроссовера БКШ–БЭК зависимость $H_{c2}(T)$ становится практически линейной. Разупорядочение также приводит к росту $H_{c2}(T)$. В БКШ-пределе слабой связи с усилением беспорядка растут как наклон верхнего критического поля вблизи точки перехода, так и $H_{c2}(T)$ в низкотемпературной области. В пределе сильного беспорядка в окрестности перехода Андерсона локализационные поправки приводят к дополнительному увеличению $H_{c2}(T)$ в низкотемпературной области и кривая $H_{c2}(T)$ становится вогнутой. В области кроссовера БКШ–БЭК и в пределе БЭК разупорядочение достаточно слабо влияет на наклон верхнего критического поля вблизи T_c . Однако в низкотемпературной области $H_{c2}(T)$ может существенно расти с увеличением беспорядка в окрестности перехода Андерсона, где за счет локализационных поправок заметно увеличивается $H_{c2}(T=0)$ и кривая $H_{c2}(T)$ становится вогнутой.

DOI: 10.7868/S0044451017120173

1. ВВЕДЕНИЕ

Исследования влияния разупорядочения на сверхпроводимость имеют достаточно долгую историю. В пионерских работах Абрикосова и Горькова [1–4] рассматривался предел слабого беспорядка ($p_Fl \gg 1$, где p_F — импульс Ферми и l — длина свободного пробега) и сверхпроводимости со слабой связью, хорошо описываемой теорией БКШ. Известная «теорема Андерсона» о критической температуре T_c сверхпроводников с «нормальным» (немагнитным) беспорядком [5, 6] также обычно относится к этому пределу.

* E-mail: kuchinsk@iep.uran.ru ** E-mail: sadovski@iep.uran.ru Обобщение теории «грязных» сверхпроводников на случай достаточно сильного беспорядка $(p_F l \sim 1)$ (и далее, вплоть до области перехода Андерсона) было выполнено в работах [7–10], где сверхпроводимость также рассматривалась в пределе слабой связи.

Наиболее ярко влияние разупорядочения проявляется в поведении верхнего критического поля в теории грязных сверхпроводников с ростом беспорядка. С увеличением беспорядка растут как наклон температурной зависимости верхнего критического поля в T_c [6], так и $H_{c2}(T)$ во всей температурной области [11]. Эффекты андерсоновской локализации в пределе достаточно сильного беспорядка также наиболее ярко проявляют себя в температурной зависимости верхнего критического поля.

Непосредственно в точке андерсоновского перехода металл—диэлектрик эффекты локализации приводят к резкому возрастанию H_{c2} в низкотемпературной области и температурная зависимость $H_{c2}(T)$ качественно отличается от зависимости Вертхамера, Хельфанда, Хоэнберга (WHH) [11], характерной для теории грязных сверхпроводников — кривая $H_{c2}(T)$ становится вогнутой, т. е. приобретает положительную кривизну [7–9].

Проблема обобщения теории БКШ в область очень сильной связи известна уже достаточно давно. Существенный прогресс в этом направлении был связан с работой Нозьера и Шмитт-Ринка [12], которые предложили эффективный метод для исследования кроссовера от поведения типа БКШ в области слабой связи к бозе-эйнштейновской конденсации (БЭК) в области сильной связи. В то же время, проблема сверхпроводимости неупорядоченных систем в пределе сильной связи и в области кроссовера БКШ-БЭК исследована достаточно слабо.

Одной из наиболее простых моделей, в которых можно исследовать кроссовер БКШ-БЭК, является модель Хаббарда с притяжением. Наиболее успешным подходом к исследованию модели Хаббарда как для описания сильно коррелированных систем в случае отталкивательного взаимодействия, так и для исследования кроссовера БКШ-БЭК в случае притяжения, является теория динамического среднего поля (DMFT) [13–15].

В последние годы нами развивался обобщенный подход DMFT+ Σ к модели Хаббарда [16–21], который оказался очень удобным для исследования влияния различных внешних (по отношению к учитывающемуся в рамках DMFT) взаимодействий. В частности, этот подход хорошо применим и для анализа двухчастичных свойств, таких как оптическая (динамическая) проводимость [20, 22].

В работе [23] мы использовали этот подход для анализа одночастичных свойств нормальной фазы и оптической проводимости в модели Хаббарда с притяжением. В дальнейшем метод DMFT+Σ был использован нами в работе [24] для исследования влияния беспорядка на температуру сверхпроводящего перехода, вычислявшуюся в рамках подхода Нозьера – Шмитт-Ринка. В частности, в этой работе для случая полуэллиптической модели затравочной плотности состояний, адекватной для описания трехмерных систем, мы численно продемонстрировали выполнение обобщенной теоремы Андерсона и показали, что влияние беспорядка на критическую температуру (во всей области изменения параметров взаимодействия) связано лишь с общим ушире-

нием затравочной зоны (плотности состояний) беспорядком. В приближении DMFT+ Σ аналитическое доказательство такой универсальности влияния беспорядка на одночастичные характеристики и температуру сверхпроводящего перехода для случая полуэллиптической зоны было получено нами в работе [25].

Начиная с классической работы Горькова [3], хорошо известно, что разложение Гинзбурга – Ландау играет фундаментальную роль в теории грязных сверхпроводников, позволяя эффективно исследовать поведение различных физических величин вблизи критической температуры в зависимости от степени беспорядка [6]. Обобщение этой теории (для сверхпроводников со слабой связью) в область сильного беспорядка (вплоть до андерсоновского перехода металл-диэлектрик) было проведено в работах [7–9].

В работах [26-28] с помощью комбинации приближений Нозьера – Шмитт-Ринка и DMFT+ Σ для модели Хаббарда с притяжением был дан микроскопический вывод коэффициентов разложения Гинзбурга – Ландау с учетом неупорядоченности системы, что позволило обобщить теорию Гинзбурга-Ландау на область кроссовера БКШ-БЭК и предела БЭК очень сильной связи с учетом различной степени разупорядочения. В частности, в работе [28] с использованием обобщения самосогласованной теории локализации этот подход был обобщен в том числе и на область сильного беспорядка, когда существенны эффекты от локализации Андерсона. Было показано, что в пределе слабой связи наклон кривой $H_{c2}(T)$ при $T = T_c$ возрастает с разупорядочением в области слабого беспорядка в соответствии с теорией грязных сверхпроводников, а в пределе сильного беспорядка локализационные эффекты приводят к дополнительному возрастанию наклона верхнего критического поля. В области же кроссовера БКШ-БЭК и в пределе БЭК наклон $H_{c2}(T)$ вблизи T_c лишь незначительно растет с увеличением беспорядка, а учет эффектов андерсоновской локализации оказывается достаточно несущественным.

В данной работе с использованием комбинации приближений Нозьера—Шмитт-Ринка и DMFT+ Σ в модели Хаббарда с притяжением мы проанализируем влияние разупорядочения на температурную зависимость $H_{c2}(T)$ в широкой области значений силы притяжения U, включающей область кроссовера БКШ-БЭК, а также широкую область величины беспорядка, вплоть до окрестности перехода Андерсона.

2. МОДЕЛЬ ХАББАРДА В РАМКАХ ПОДХОДА DMFT $+\Sigma$ В ПРИБЛИЖЕНИИ НОЗЬЕРА – ШМИТТ-РИНКА

Мы рассматриваем неупорядоченную немагнитную модель Андерсона—Хаббарда с притяжением, гамильтониан которой имеет вид

$$H = -t \sum_{\langle ij \rangle \sigma} a_{i\sigma}^{\dagger} a_{j\sigma} + \sum_{i\sigma} \epsilon_i n_{i\sigma} - U \sum_i n_{i\uparrow} n_{i\downarrow}, \quad (1)$$

где t>0 — амплитуда перескока между ближайшими соседями, U — хаббардовское притяжение на узле, $n_{i\sigma}=a_{i\sigma}^{\dagger}a_{i\sigma}$ — оператор числа электронов на узле, $a_{i\sigma}$ ($a_{i\sigma}^{\dagger}$) — оператор уничтожения (рождения) электрона со спином σ , локальные энергии ϵ_i полагаются независимыми случайными величинами на разных узлах решетки. Для справедливости стандартной «примесной» диаграммной техники [29,30] мы предполагаем гауссовское распределение для энергетических уровней ϵ_i :

$$\mathcal{P}(\epsilon_i) = \frac{1}{\sqrt{2\pi}\Delta} \exp\left(-\frac{\epsilon_i^2}{2\Delta^2}\right) \tag{2}$$

Ширина распределения Δ служит мерой силы беспорядка, а гауссовское случайное поле энергетических уровней (независимое на различных узлах решетки — корреляция типа «белого шума») вызывает «примесное» рассеяние, которое рассматривается в рамках стандартного подхода, основанного на вычислении усредненных функций Грина [30].

Обобщенный подход DMFT+ Σ [16–19] дополняет стандартную теорию динамического среднего поля (DMFT) [13–15] учетом добавочной «внешней» собственно-энергетической части (СЭЧ) $\Sigma_{\mathbf{p}}(\varepsilon)$ (в общем случае зависящей от импульса), являющейся следствием любого вида взаимодействия за пределами DMFT, и дает эффективный метод вычисления как одночастичных, так и двухчастичных свойств [20, 22]. При этом полностью сохраняется стандартная система самосогласованных уравнений DMFT [13-15], но на каждом шаге итерационной схемы DMFT внешняя СЭЧ $\Sigma_{\mathbf{p}}(\varepsilon)$ пересчитывается заново с помощью некоторой приближенной схемы, соответствующей виду добавочного взаимодействия, а локальная функция Грина DMFT также «одевается» $\Sigma_{\mathbf{p}}(\varepsilon)$ на каждом шаге стандартной DMFT-процедуры.

В рассматриваемой здесь задаче о рассеянии на беспорядке [20, 21] для внешней СЭЧ, входящей в DMFT+ Σ -цикл, мы используем простейшее (самосогласованное борновское) приближение, пренебрегающее «пересекающимися» диаграммами для при-

месного рассеяния. Такая внешняя СЭЧ остается не зависящей от импульса (локальной).

В данной работе, как и в предыдущих наших работах, для решения эффективной однопримесной модели Андерсона в DMFT использовался чрезвычайно эффективный метод численной ренормгруппы (NRG) [31].

В дальнейшем мы принимаем модель «затравочной» зоны с полуэллиптической плотностью состояний (на элементарную ячейку с параметром решетки a и один спин), которая является неплохим приближением для трехмерного случая:

$$N_0(\varepsilon) = \frac{2}{\pi D^2} \sqrt{D^2 - \varepsilon^2},\tag{3}$$

где D определяет полуширину зоны проводимости.

В работе [25] мы показали, что в DMFT+ Σ -подходе в модели с полуэллиптической плотностью состояний все влияние беспорядка на одночастичные свойства сводится лишь к уширению зоны беспорядком, т.е. к замене $D \to D_{eff}$, где D_{eff} — эффективная полуширина затравочной зоны в отсутствие электронных корреляций (U=0), уширенная беспорядком:

$$D_{eff} = D\sqrt{1 + 4\frac{\Delta^2}{D^2}}. (4)$$

Затравочная (в отсутствие U) плотность состояний, «одетая» беспорядком,

$$\tilde{N}_0(\xi) = \frac{2}{\pi D_{eff}^2} \sqrt{D_{eff}^2 - \varepsilon^2},\tag{5}$$

остается полуэллиптической и в присутствие беспорядка.

Необходимо отметить, что в других моделях затравочной зоны беспорядок наряду с уширением зоны будет изменять и форму плотности состояний. Поэтому полной универсальности влияния беспорядка на одночастичные свойства, сводящейся к замене $D \to D_{eff}$, вообще говоря, нет. Однако в интересующем нас, главным образом, пределе сильного беспорядка затравочная зона становится практически полуэллиптической и универсальность восстанавливается [25].

Все расчеты в данной работе, как и в предыдущих, были проведены для достаточно типичного случая четвертичного заполнения зоны (число электронов на узел решетки n=0.5).

При рассмотрении сверхпроводимости в широком интервале изменений спаривательного взаимодействия U, следуя работам [23, 25], мы используем приближение Нозьера – Шмитт-Ринка [12], что позволяет качественно правильно (хотя и приближенно) описать область кроссовера БКШ-БЭК. В этом подходе для определения критической температуры T_c используется [25] обычное уравнение БКШ типа

$$1 = \frac{U}{2} \int_{-\infty}^{\infty} d\varepsilon \, \tilde{N}_0(\varepsilon) \frac{\operatorname{th}((\varepsilon - \mu)/2T_c)}{\varepsilon - \mu}, \tag{6}$$

в котором химический потенциал μ для разных значений U и Δ определяется из DMFT+ Σ -расчетов, т. е. из стандартного уравнения для числа электронов (заполнение зоны), что позволяет найти T_c в широком интервале значений параметров модели, включая область кроссовера БКШ-БЭК и предел сильной связи, а также для различных степеней беспорядка. Это отражает физический смысл приближения Нозьера—Шмитт-Ринка: в области слабой связи температура перехода контролируется уравнением для куперовской неустойчивости (6), тогда как в пределе сильной связи она определяется как температура БЭК, которая контролируется химическим потенциалом.

В работе [25] было показано, что влияние беспорядка на критическую температуру T_c и одночастичные характеристики (например, плотность состояний) в модели с полуэллиптической затравочной плотностью состояний универсально и сводится лишь к изменению эффективной ширины зоны. В области слабой связи температура сверхпроводящего перехода хорошо описывается моделью БКШ, а в области сильной связи критическая температура в основном определяется условием бозе-конденсации куперовских пар и убывает с ростом U как t^2/U , проходя через максимум при $U/2D_{eff} \sim 1$.

Обзор этих и других результатов, полученных для неупорядоченной модели Хаббарда в ${\rm DMFT+}\Sigma$ -приближении, можно найти в [21].

3. ОСНОВНЫЕ СООТНОШЕНИЯ ДЛЯ ВЕРХНЕГО КРИТИЧЕСКОГО ПОЛЯ

В используемом нами подходе Нозьера—Шмитт-Ринка критическая температура сверхпроводящего перехода определяется совместным решением уравнений для куперовской неустойчивости в куперовском канале частица—частица в приближении слабой связи и уравнения для химического потенциала системы во всем интервале значений хаббардовского взаимодействия в

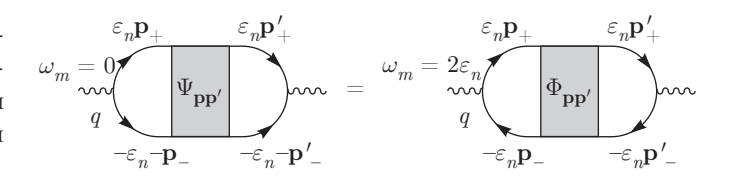


Рис. 1. Равенство петель в куперовском и диффузионном каналах в условиях инвариантности относительно обращения времени

рамках приближения DMFT+ Σ . Обычное условие для куперовской неустойчивости имеет вид

$$1 = -U\chi(\mathbf{q}),\tag{7}$$

где $\chi(\mathbf{q})$ — куперовская восприимчивость, определяемая петлей в куперовском канале, показанной на рис. 1. В присутствии внешнего магнитного поля суммарный импульс \mathbf{q} в куперовском канале приобретает добавку от вектор-потенциала \mathbf{A} ,

$$\mathbf{q} \to \mathbf{q} - \frac{2e}{c}\mathbf{A}.$$
 (8)

Поскольку наша модель предполагает изотропный спектр, куперовская восприимчивость $\chi(\mathbf{q})$ зависит от \mathbf{q} лишь через q^2 . Минимальное собственное значение $(\mathbf{q}-(2e/c)\mathbf{A})^2$, отвечающее (орбитальному)¹⁾ верхнему критическому магнитному полю $H=H_{c2}$, есть [32]

$$q_0^2 = 2\pi \frac{H}{\Phi_0},\tag{9}$$

где $\Phi_0 = ch/2e = \pi\hbar/e$ — квант магнитного потока. Тогда уравнение на $T_c(H)$ или $H_{c2}(T)$ остается прежним:

$$1 = -U\chi(q^2 = q_0^2). (10)$$

При дальнейшем анализе мы будем пренебрегать относительно слабым влиянием магнитного поля на процессы диффузии (неинвариантностью относительно обращения времени), проявляющимся в неравенстве петель в куперовском и диффузионном каналах. Учет такого влияния магнитного поля анализировался в работах [9,10,33,34], где было продемонстрировано, что такой учет даже вблизи андерсоновского перехода металл—диэлектрик лишь незначительно уменьшает величину $H_{c2}(T)$ в низкотемпературной области. В условиях инвариантности относительно обращения времени и в связи с тем,

 $^{^{1)}}$ В этой работе мы не рассматриваем парамагнитный эффект, связанный со спином электронов.

что примесное рассеяние, которым одета двухчастичная функция Грина $\Psi_{\mathbf{p},\mathbf{p}'}(\varepsilon_n,\mathbf{q})$, является статическим, можно изменить направление всех нижних электронных линий с одновременным изменением знака всех входящих в них импульсов (см. рис. 1). В результате получаем

$$\Psi_{\mathbf{p},\mathbf{p}'}(\varepsilon_n,\mathbf{q}) = \Phi_{\mathbf{p},\mathbf{p}'}(\omega_m = 2\varepsilon_n,\mathbf{q}),\tag{11}$$

где ε_n — фермионные мацубаровские частоты, $\mathbf{p}_{\pm} = \mathbf{p} \pm \mathbf{q}/2$, $\Phi_{\mathbf{p},\mathbf{p}'}(\omega_m = 2\varepsilon_n,\mathbf{q})$ — двухчастичная функция Грина в диффузионном канале, одетая примесями. В результате для куперовской воспри-имчивости получаем

$$\chi(\mathbf{q}) = -T \sum_{n, \mathbf{p}, \mathbf{p}'} \Psi_{\mathbf{p}, \mathbf{p}'}(\varepsilon_n, \mathbf{q}) =$$

$$= -T \sum_{n, \mathbf{p}, \mathbf{p}'} \Phi_{\mathbf{p}, \mathbf{p}'}(\omega_m = 2\varepsilon_n, \mathbf{q}). \quad (12)$$

Выполняя стандартную процедуру суммирования по фермионным мацубаровским частотам [29,30] получаем для куперовской восприимчивости в уравнении (10)

$$\chi(q_0^2) = -\frac{1}{2\pi} \int_{-\infty}^{\infty} d\varepsilon \operatorname{Im} \Phi^{RA}(\omega = 2\varepsilon, q_0^2) \operatorname{th} \frac{\varepsilon}{2T}, (13)$$

где

$$\Phi^{RA}(\omega, \mathbf{q}) = \sum_{\mathbf{p}, \mathbf{p}'} \Phi^{RA}_{\mathbf{p}, \mathbf{p}'}(\omega, \mathbf{q}).$$

Для нахождения петли $\Phi^{RA}(\omega, \mathbf{q})$ в условиях сильного беспорядка (в том числе в области андерсоновской локализации) можно воспользоваться приближенной самосогласованной теорией локализации [30,35–40]. Тогда эта петля содержит диффузионный полюс следующего вида [20]:

$$\Phi^{RA}(\omega = 2\varepsilon, q_0^2) = -\frac{\sum_{\mathbf{p}} \Delta G_{\mathbf{p}}(\varepsilon)}{\omega + iD(\omega)q_0^2}, \quad (14)$$

где

$$\Delta G_{\mathbf{p}}(\varepsilon) = G^{R}(\varepsilon, \mathbf{p}) - G^{A}(-\varepsilon, \mathbf{p}),$$

 G^R и G^A — запаздывающая и опережающая функции Грина, а $D(\omega)$ — зависящий от частоты обобщенный коэффициент диффузии. В результате уравнение (10) для $H_{c2}(T)$ принимает вид

$$1 = -\frac{U}{2\pi} \int_{-\infty}^{\infty} d\varepsilon \operatorname{Im} \left(\frac{\sum_{\mathbf{p}} \Delta G_{\mathbf{p}}(\varepsilon)}{2\varepsilon + iD(2\varepsilon)2\pi H_{c2}/\Phi_{0}} \right) \times \operatorname{th} \frac{\varepsilon}{2T}. \quad (15)$$

Обобщенный коэффициент диффузии в рамках самосогласованной теории локализации [30, 35–40] для рассматриваемой модели находится путем решения следующего уравнения самосогласования [20]:

$$D(\omega) = i \frac{\langle v \rangle^2}{d} \left(\omega - \Delta \Sigma_{imp}^{RA}(\omega) + \Delta^4 \sum_{\mathbf{p}} \Delta G_{\mathbf{p}}^2(\varepsilon) \times \sum_{\mathbf{q}} \frac{1}{\omega + i D(\omega) q^2} \right)^{-1}, \quad (16)$$

где $\omega = 2\varepsilon$,

$$\Delta\Sigma_{imp}^{RA}(\omega) = \Sigma_{imp}^{R}(\varepsilon) - \Sigma_{imp}^{A}(-\varepsilon),$$

d — размерность пространства, а средняя скорость $\langle v \rangle$ определяется выражением

$$\langle v \rangle = \frac{\sum_{\mathbf{p}} |\mathbf{v}_{\mathbf{p}}| \Delta G_{\mathbf{p}}(\varepsilon)}{\sum_{\mathbf{p}} \Delta G_{\mathbf{p}}(\varepsilon)}, \quad \mathbf{v}_{\mathbf{p}} = \frac{\partial \varepsilon(\mathbf{p})}{\partial \mathbf{p}}.$$
 (17)

С учетом предела применимости диффузионного приближения суммирование по q в (16) должно быть ограничено областью [30, 39]

$$q < k_0 = \min\{l^{-1}, p_F\},\tag{18}$$

где l — длина свободного пробега за счет упругого рассеяния на беспорядке, а p_F — импульс Ферми.

В пределе слабого беспорядка, когда локализационные поправки малы, куперовская восприимчивость $\chi(\mathbf{q})$ определяется лестничным приближением. В этом приближении куперовская восприимчивость была исследована нами в работе [27]. Перестроим теперь уравнение самосогласования (16), так чтобы в пределе слабого беспорядка воспроизвести результат лестничного приближения. В этом приближении, когда мы пренебрегаем вкладом в неприводимую вершину от «максимально перекрестных» диаграмм, в правой части уравнения самосогласования (16) пропадает последнее слагаемое. Введем теперь зависящий от частоты обобщенный коэффициент диффузии в лестничном приближении:

$$D_0(\omega) = \frac{\langle v \rangle^2}{d} \frac{i}{\omega - \Delta \Sigma_{imn}^{RA}(\omega)}.$$
 (19)

Величину $\langle v \rangle^2/d$, входящую в уравнение самосогласования (16), можно переписать через этот коэффициент диффузии D_0 в лестничном приближении. При этом уравнение самосогласования (16) принимает вид

$$D(\omega = 2\varepsilon) = D_0(\omega = 2\varepsilon) \left(1 + \frac{\Delta^4}{2\varepsilon - \Delta \Sigma_{imp}^{RA}(\omega = 2\varepsilon)} \times \sum_{\mathbf{p}} \Delta G_{\mathbf{p}}^2(\varepsilon) \sum_{\mathbf{q}} \frac{1}{2\varepsilon + iD(\omega = 2\varepsilon)q^2} \right)^{-1}. \quad (20)$$

В рамках подхода работы [27] коэффициент диффузии $D_0(\omega=2\varepsilon)$ в лестничном приближении может быть получен в аналитическом виде. Действительно, в лестничном приближении двухчастичная функция Грина (14) имеет вид

$$\Phi_0^{RA}(\omega = 2\varepsilon, \mathbf{q}) = -\frac{\sum_{\mathbf{p}} \Delta G_{\mathbf{p}}(\varepsilon)}{\omega + iD_0(\omega = 2\varepsilon)q^2}.$$
 (21)

Введем функцию

$$\varphi(\varepsilon, \mathbf{q} = 0) \equiv \lim_{q \to 0} \frac{\Phi_0^{RA}(\omega = 2\varepsilon, \mathbf{q}) - \Phi_0^{RA}(\omega = 2\varepsilon, \mathbf{q} = 0)}{q^2} = \frac{i \sum_{\mathbf{p}} \Delta G_{\mathbf{p}}(\varepsilon)}{\omega^2} D_0(\omega = 2\varepsilon). \quad (22)$$

Тогда коэффициент диффузии D_0 может быть записан в виде

$$D_0 = \frac{\varphi(\varepsilon, \mathbf{q} = 0)(2\varepsilon)^2}{i \sum_{\mathbf{p}} \Delta G_{\mathbf{p}}(\varepsilon)}.$$
 (23)

В работе [27] с использованием точного тождества Уорда в лестничном приближении было показано, что функция $\varphi(\varepsilon, \mathbf{q}=0)$ может быть записана как

$$\varphi(\varepsilon, \mathbf{q} = 0)(2\varepsilon)^{2} = \sum_{\mathbf{p}} v_{x}^{2} G^{R}(\varepsilon, \mathbf{p}) G^{A}(-\varepsilon, \mathbf{p}) + \frac{1}{2} \sum_{\mathbf{p}} \frac{\partial^{2} \varepsilon(\mathbf{p})}{\partial p_{x}^{2}} (G^{R}(\varepsilon, \mathbf{p}) + G^{A}(-\varepsilon, \mathbf{p})), \quad (24)$$

где $v_x = \partial \varepsilon(\mathbf{p})/\partial p_x$.

Дальнейшая процедура численных расчетов выглядит следующим образом. По формулам (24), (23) мы находим коэффициент диффузии D_0 в лестничном приближении. С использованием уравнения самосогласования (20) находим обобщенный коэффициент диффузии и из (15) определяем $H_{c2}(T)$.

4. ОСНОВНЫЕ РЕЗУЛЬТАТЫ

В уравнение (15) для определения $H_{c2}(T)$ как параметр входит значение химического потенциала, который определяется из условия четвертичного заполнения зоны с помощью DMFT+ Σ -процедуры.

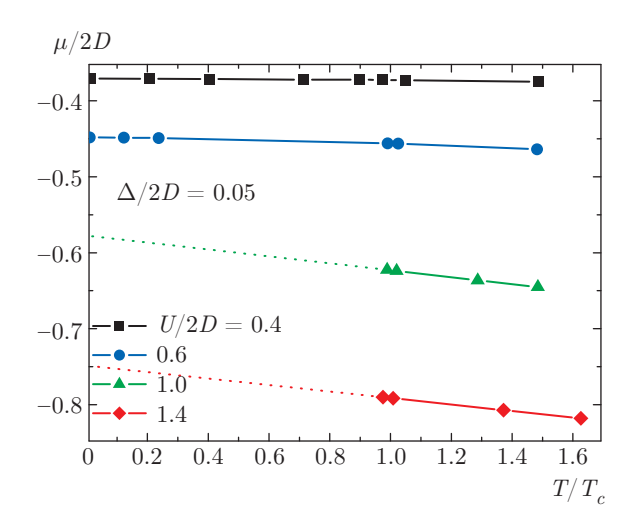


Рис. 2. Температурная зависимость химического потенциала при $\Delta/2D=0.05$ и различных значениях силы связи

Химический потенциал не только зависит от силы связи, но, вообще говоря, имеет и температурную зависимость, которая оказывается весьма существенной для определения величины $H_{c2}(T)$ в пределе достаточно сильной связи. Используемый нами для решения примесной задачи DMFT алгоритм NRG пренебрегает квантованием электронных уровней в магнитном поле, т. е. влиянием магнитного поля на орбитальное движение электронов и, соответственно, на химический потенциал. В работе [23] мы показали, что для модели Хаббарда с притяжением наша DMFT-процедура оказывается неустойчивой при $T < T_c$, что проявляется в разнице четных и нечетных итераций DMFT. Такая неустойчивость, по-видимому, связана с неустойчивостью нормального состояния при $T < T_c$. В частности, она особенно ярко проявляется в БЭК-пределе сильной связи (для $U/2D \ge 1$), что приводит к невозможности определить величину химического потенциала при $T < T_c$. В пределе же слабой связи количественная разница между результатами четных и нечетных итераций DMFT оказывается очень малой, что позволяет с достаточной точностью находить значения $\mu(T)$ в том числе и при $T < T_c$. На рис. 2 приведена температурная зависимость химического потенциала при различных значениях силы связи. В пределе слабой связи (U/2D=0.4,0.6) на рис. 2 приведены точки, полученные из DMFT+Σ-расчетов, в том числе и при $T < T_c$. В пределе сильной связи мы можем найти химический потенциал непосредственно из DMFT+ Σ -процедуры лишь при $T>T_c,$ соответствующие точки также приведены на рис. 2. Из этого рисунка следует, что в присутствии взаимодействия у химического потенциала появляется линейная зависимость от температуры и именно эта зависимость является для нас существенной. В пределе слабой связи химический потенциал не испытывает никаких существенных особенностей при $T < T_c$, поэтому мы можем предположить, что и в пределе сильной связи для μ сохраняется аналогичная зависимость от температуры, которую можно найти линейной экстраполяцией (пунктирные прямые с U/2D=1.0,1.4 на рис. 2) из области $T>T_c$. Такая процедура и используется в дальнейших расчетах для области сильной связи.

В пределе слабого беспорядка ($\Delta/2D = 0.05$ на рис. 3a) в области слабой связи (U/2D=0.2) наблюдается температурная зависимость верхнего критического поля аналогичная стандартной зависимости WHH [11] с отрицательной кривизной. Рост силы связи, вообще говоря, приводит к увеличению верхнего критического поля до очень больших величин, существенно превышающих $\Phi_0/2\pi a^2$ (а — постоянная решетки) в области низких температур. При промежуточной силе связи (U/2D=0.4,0.6) на кривой температурной зависимости $H_{c2}(T)$ возникает слабый максимум при $T/T_c \sim (0.2 – 0.4)$. Дальнейший рост силы связи приводит к росту верхнего критического поля, при U/2D=1 температурная зависимость $H_{c2}(T)$ становится практически линейной и дальнейший рост силы связи практически не изменяет величины верхнего критического поля во всей температурной области. С ростом беспорядка $(\Delta/2D = 0.11$ на рис. 36) ситуация остается качественно аналогичной. Рост силы связи в начале приводит к росту H_{c2} во всей области температур. Небольшой максимум $H_{c2}(T)$, наблюдающийся при промежуточной связи (U/2D=0.4,0.6) и слабом беспорядке ($\Delta/2D=0.05$), при этом пропадает. В области сильной связи $(U/2D \ge 1) H_{c2}(T)$ фактически линейна и очень слабо меняется с изменением силы связи. При достаточно сильном беспорядке $(\Delta/2D = 0.25)$ с ростом силы связи верхнее критическое поле также растет во всей температурной области. Этот рост сохраняется вплоть до предела БЭК очень сильной связи (U/2D = 1.4), начиная с которого зависимость $H_{c2}(T)$ становится линейной и уже слабо изменяется с ростом силы связи. Для сравнения на рис. 3e (слева) при U/2D = 0.6 приведены как данные расчета с использованием самосогласованной теории локализации (темные треугольники и сплошная кривая), так и данные расчета с использованием лестничного приближения по примесному рассеянию (светлые треугольники и пунктирная кривая). Слабое различие этих кривых демонстрирует, что поправки от андерсоновской локализации при таком беспорядке ($\Delta/2D=0.25$) достаточно слабы.

В используемой нами модели в приближении $\mathrm{DMFT+}\Sigma$ андерсоновский переход металл-диэлектрик происходит при $\Delta/2D = 0.37$ и это значение критического беспорядка не зависит от силы связи (см. [20]). Температурное поведение верхнего критического поля непосредственно в точке перехода Андерсона и в фазе андерсоновского диэлектрика при различных значениях силы связи приведено на рис. 4. На этом рисунке темные символы и сплошные кривые отвечают расчетам с использованием самосогласованной теории локализации, а светлые символы и пунктирные кривые отвечают расчетам с использованием лестничного приближения по примесному рассеянию. В точке перехода Андерсона $(\Delta/2D=0.37$ на рис. 4a) эффекты андерсоновской локализации в пределе слабой связи очень сильно изменяют температурную зависимость $H_{c2}(T)$. Эффекты локализации во всей области температур увеличивают $H_{c2}(T)$. Однако наибольшее увеличение наблюдается при низких температурах, так что $H_{c2}(T)$ приобретает положительную кривизну, что было впервые продемонстрировано в работах [7,8]. Увеличение силы связи приводит к росту верхнего критического поля во всей температурной области. Кривые $H_{c2}(T)$ в области промежуточной связи (U/2D = 0.6, 1) по-прежнему имеют положительную кривизну. Дальнейший рост силы связи до U/2D=1.4 также увеличивает H_{c2} во всей температурной области. Однако учет локализационных поправок при такой сильной связи существен лишь при низких температурах ($T/T_c < 0.1$). В этой области кривая $H_{c2}(T)$ имеет положительную кривизну, а при остальных же температурах $H_{c2}(T)$ фактически линейна. С дальнейшим ростом силы связи $(U/2D = 1.6) \ H_{c2}(T)$ становится практически линейной и учет локализационных поправок оказывается несущественным во всей температурной области. Таким образом, в БЭК-пределе очень сильной связи влияние андерсоновской локализации на поведение верхнего критического поля сильно ослаблено. В фазе андерсоновского диэлектрика (рис. 46) в БКШ-пределе слабой связи (U/2D=0.2) учет эффектов андерсоновской локализации приводит к существенному росту $H_{c2}(T)$ (см. вставку на рис. 46). Увеличение силы связи приводит к росту верхнего критического поля во всей температурной области. При промежуточной силе связи (U/2D = 0.6, 1.0)учет эффектов андерсоновской локализации заметно увеличивает H_{c2} во всей температурной области.

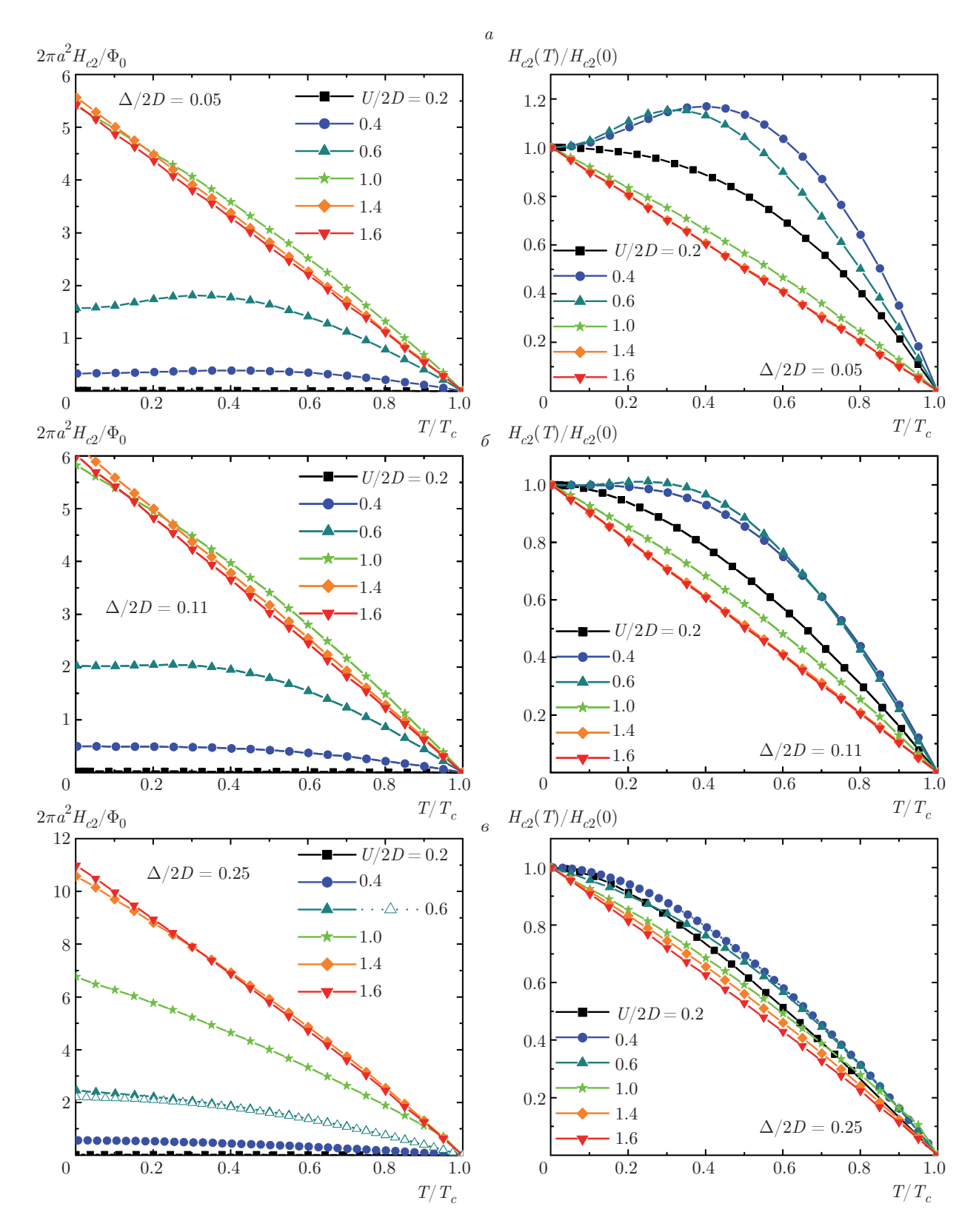


Рис. 3. Температурная зависимость верхнего критического поля при различной силе связи для разных значений степени беспорядка. На рисунках слева верхнее критическое поле нормировано на $\Phi_0/2\pi a^2$, справа — верхнее критическое поле нормировано на свое значение при T=0

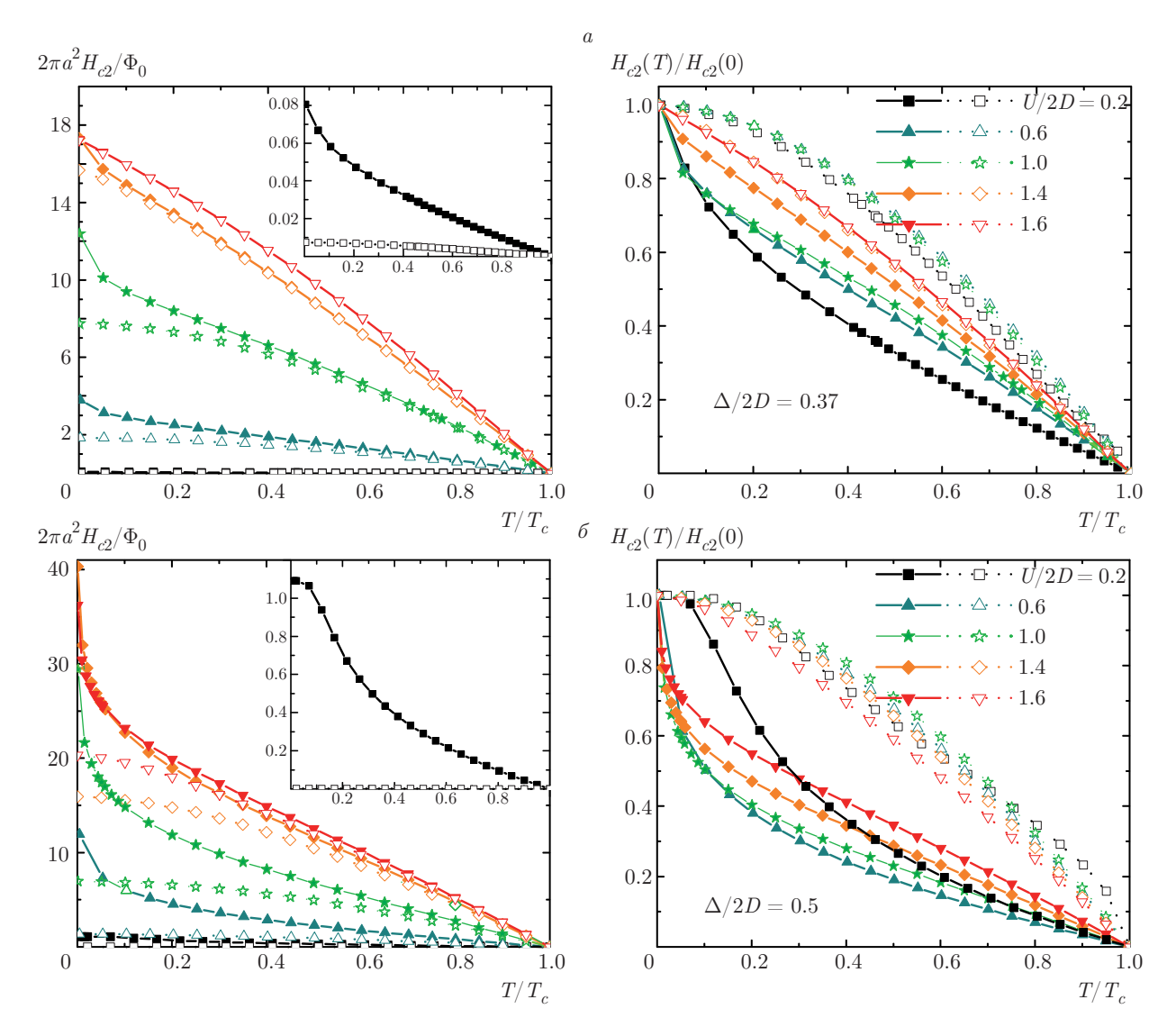


Рис. 4. Температурная зависимость верхнего критического поля на андерсоновском переходе металл-диэлектрик (a) и в фазе андерсоновского диэлектрика (b) при различных значениях силы связи. На рисунках слева H_{c2} нормировано на $\Phi_0/2\pi a^2$, справа — верхнее критическое поле нормировано на свое значение при T=0

Однако наибольшее увеличение наблюдается в области низких температур, что приводит к положительной кривизне кривой $H_{c2}(T)$ и очень резкому росту $H_{c2}(T=0)$. В БЭК-пределе очень сильной связи (U/2D=1.4,1.6) верхнее критическое поле практически перестает расти с ростом силы связи. Вклад от эффектов андерсоновской локализации при $T\sim T_c$ оказывается несущественным и зависимость $H_{c2}(T)$ становится практически линейной. Однако в низкотемпературной области $(T\ll T_c)$ вклад от андерсоновской локализации по-прежнему существенно увеличивает верхнее критическое поле и кривая $H_{c2}(T)$ имеет положительную кривизну в этой об-

ласти. Таким образом, и в фазе андерсоновского диэлектрика в БЭК-пределе очень сильной связи влияние андерсоновской локализации на поведение верхнего критического поля заметно подавляется, однако в низкотемпературной области оно все же остается весьма существенным, заметно изменяя величину $H_{c2}(T=0)$.

На рис. 5 приведены температурные зависимости верхнего критического поля для различных степеней беспорядка в трех интересующих нас областях силы связи: в БКШ-пределе слабой связи (U/2D=0.2), в области кроссовера БКШ-БЭК (промежуточная связь U/2D=1.0), в БЭК-пределе

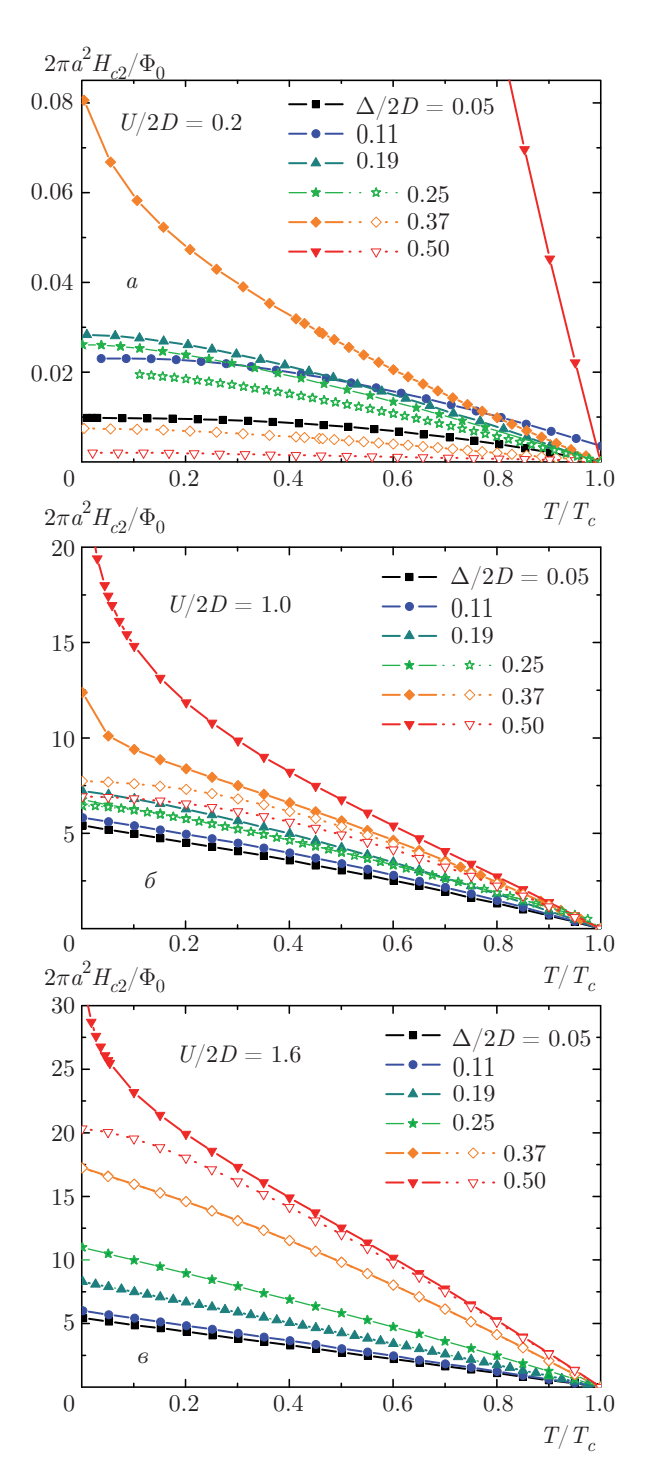


Рис. 5. Температурная зависимость верхнего критического поля для различных степеней беспорядка: a — БКШ-предел слабой связи; δ — область кроссовера БКШ-БЭК с промежуточной связью; ϵ — БЭК-предел сильной связи. Темные символы и сплошные линии соответствуют расчетам с учетом локализационных поправок. Светлые символы и пунктирные линии соответствуют лестничному приближению по примесям

сильной связи (U/2D = 1.6). В пределе слабой связи (рис. 5a) рост беспорядка приводит к росту верхнего критического поля во всей области температур в пределе слабого беспорядка ($\Delta/2D < 0.19$), при этом кривые температурной зависимости имеют отрицательную кривизну и по форме близки к стандартной зависимости WHH [11]. С дальнейшим ростом беспорядка без учета локализационных поправок верхнее критическое поле во всей температурной области начинает уменьшаться. Однако учет локализационных поправок в пределе слабой связи в области сильного беспорядка ($\Delta/2D \geq 0.37$) существенно увеличивает верхнее критическое поле и качественно изменяет его температурное поведение. Кривые у $H_{c2}(T)$ приобретают положительную кривизну. Верхнее критическое поле быстро растет с ростом беспорядка во всей температурной области. При промежуточной связи (рис. 56) в пределе слабого беспорядка температурная зависимость верхнего критического поля становится практически линейной. Верхнее критическое поле во всей температурной области растет с ростом беспорядка. В пределе сильного беспорядка ($\Delta/2D \ge 0.37$) локализационные поправки, как и в пределе слабой связи, увеличивают верхнее критическое поле во всей температурной области. Кривые $H_{c2}(T)$ приобретают положительную кривизну. Однако в области промежуточной связи влияние эффектов от андерсоновской локализации существенно слабее, чем в пределе слабой связи, и является существенным лишь в низкотемпературной области. В БЭК-пределе сильной связи (рис. 5в) в области слабого беспорядка кривые $H_{c2}(T)$ являются фактически линейными. Верхнее критическое поле растет с ростом беспорядка во всей температурной области. В пределе сильного беспорядка непосредственно на самом переходе Андерсона ($\Delta/2D = 0.37$) кривая $H_{c2}(T)$ по-прежнему остается линейной и учет локализационных поправок фактически не изменяет температурную зависимость верхнего критического поля. Дальнейшее увеличение беспорядка приводит к росту $H_{c2}(T)$. Глубоко в фазе андерсоновского диэлектрика ($\Delta/2D = 0.5$) кривая $H_{c2}(T)$ приобретает положительную кривизну, и учет эффектов андерсоновской локализации увеличивает $H_{c2}(T)$ в низкотемпературной области, в то время как вблизи T_c локализационные поправки оказываются несущественными даже при таком сильном беспорядке. Таким образом, сильная связь существенно ослабляет влияние эффектов локализации на температурное поведение верхнего критического поля.

5. ЗАКЛЮЧЕНИЕ

В данной работе, в рамках приближения Нозьера-Шмитт-Ринка и DMFT+Σ-обобщения теории динамического среднего поля мы исследовали влияние разупорядочения, в том числе и сильного (включая область андерсоновской локализации) и роста спаривательного взаимодействия на температурное поведение верхнего критического поля. Расчеты были проведены для широкой области значений потенциала притяжения U, от области слабой связи $U/2D \ll 1$, где неустойчивость нормальной фазы и сверхпроводимость хорошо описываются моделью БКШ, вплоть до предела сильной связи $U/2D \gg 1$, где переход в сверхпроводящее состояние связан с бозе-конденсацией компактных куперовских пар, образующихся при температуре существенно выше температуры перехода в сверхпроводящее состояние.

Рост силы связи U приводит к быстрому возрастанию $H_{c2}(T)$, особенно в низкотемпературной области. В пределе БЭК и в области кроссовера БКШ-БЭК кривая $H_{c2}(T)$ становится практически линейной. Разупорядочение при любой силе связи также приводит к росту $H_{c2}(T)$. В БКШ-пределе слабой связи с усилением беспорядка растет как наклон кривой верхнего критического поля вблизи $T = T_c$, так и $H_{c2}(T)$ в низкотемпературной области. В пределе сильного беспорядка, в окрестности перехода Андерсона, локализационные поправки приводят к дополнительному резкому увеличению верхнего критического поля в низкотемпературной области и кривая $H_{c2}(T)$ становится вогнутой, т.е. приобретает положительную кривизну. В области кроссовера БКШ-БЭК и в пределе БЭК слабый беспорядок несущественно влияет на наклон верхнего критического поля в T_c , однако сильный беспорядок в окрестности перехода Андерсона приводит к заметному увеличению наклона верхнего критического поля с ростом беспорядка. В низкотемпературной области $H_{c2}(T)$ существенно растет с увеличением беспорядка, особенно в окрестности перехода Андерсона, где за счет локализационных поправок заметно увеличивается $H_{c2}(T=0)$ и кривая $H_{c2}(T)$ вместо линейной зависимости, характерной в пределе сильной связи при слабом беспорядке, становится вогнутой.

В рассмотренной модели значения верхнего критического поля при низких температурах могут достигать экстремальных значений, существенно превышающих $\Phi_0/2\pi a^2$. Это делает актуальным дальнейший анализ модели с учетом парамагнитного

эффекта и неизбежной роли эффектов квантования электронного спектра в магнитном поле. Можно надеяться, что эффекты квантования спектра несущественны в области сильного беспорядка, а парамагнитный эффект существенно ослабляется в области сильной и очень сильной связи. Эти вопросы требуют отдельного рассмотрения.

Работа выполнена в рамках темы государственного задания (ФАНО) № 0389-2014-0001 и при частичной поддержке РФФИ (грант № 17-02-00015) и в рамках программы фундаментальных исследований Президиума РАН «Фундаментальные проблемы высокотемпературной сверхпроводимости».

ЛИТЕРАТУРА

- 1. А. А. Абрикосов, Л. П. Горьков, ЖЭТФ **36**, 319 (1958) [Sov. Phys. JETP **9**, 220 (1959)].
- **2**. А. А. Абрикосов, Л. П. Горьков, ЖЭТФ **35**, 1158 (1958) [Sov. Phys. JETP **9**, 1090 (1959)].
- **3**. Л. П. Горьков, ЖЭТФ **36**, 1918 (1959) [Sov. Phys. JETP **36**, 1364 (1959)].
- **4.** А. А. Абрикосов, Л. П. Горьков, ЖЭТФ **39**, 1781 (1960) [Sov. Phys. JETP **12**, 1243 (1961)].
- 5. P. W. Anderson, J. Phys. Chem. Solids 11, 26 (1959).
- **6.** P. G. De Gennes, Superconductivity of Metals and Alloys, W. A. Benjamin, NY (1966).
- 7. Л. Н. Булаевский, М. В. Садовский, Письма в ЖЭТФ **39**, 524 (1984) [JETP Letters **39**, 640 (1984)].
- L. N. Bulaevskii and M. V. Sadovskii, J. Low. Temp. Phys. 59, 89 (1985).
- M. V. Sadovskii, Phys. Rep. 282, 226 (1997); arXiv: cond-mat/9308018.
- M. V. Sadovskii, Superconductivity and Localization, World Sci., Singapore (2000).
- N. R. Werthamer and E. Helfand, Phys. Rev. 147, 288 (1966); N. R. Werthamer, E. Helfand, and P. C. Hohenberg, Phys. Rev. 147, 295 (1966).
- P. Nozieres and S. Schmitt-Rink, J. Low Temp. Phys. 59, 195 (1985).
- Th. Pruschke, M. Jarrell, and J. K. Freericks, Adv. Phys. 44, 187 (1995).
- 14. A. Georges, G. Kotliar, W. Krauth, and M. J. Rozenberg, Rev. Mod. Phys. 68, 13 (1996).

- 15. D. Vollhardt, in: Lectures on the Physics of Strongly Correlated Systems XIV, ed. by A. Avella and F. Mancini, AIP Conference Proceedings Vol. 1297, AIP, Melville, New York (2010), p. 339; arXiv: 1004.5069.
- **16**. E. Z. Kuchinskii, I. A. Nekrasov, and M. V. Sadovskii, Письма в ЖЭТФ **82**, 217 (2005) [JETP Lett. **82**, 198 (2005)]; arXiv:cond-mat/0506215.
- 17. M. V. Sadovskii, I. A. Nekrasov, E. Z. Kuchinskii, Th. Prushke, and V. I. Anisimov, Phys. Rev. B 72, 155105 (2005); arXiv:cond-mat/0508585.
- **18**. E. Z. Kuchinskii, I. A. Nekrasov, and M. V. Sadovskii, ΦHT **32**, 528 (2006) [Low Temp. Phys. **32**, 398 (2006)]; arXiv:cond-mat/0510376.
- **19**. Э. З. Кучинский, И. А. Некрасов, М. В. Садовский, УФН **182**, 345 (2012) [Physics Uspekhi **53**, 325 (2012)]; arXiv:1109.2305.
- **20**. E. Z. Kuchinskii, I. A. Nekrasov, and M. V. Sadovskii, ЖЭΤΦ **133**, 670 (2008) [JETP **106**, 581 (2008)]; arXiv:0706.2618.
- E. Z. Kuchinskii and M. V. Sadovskii, ЖЭΤΦ
 149, 589 (2016) [JETP 122, 509 (2016)]; arXiv: 1507.07654.
- **22**. E. Z. Kuchinskii, I. A. Nekrasov, and M. V. Sadovskii, Phys. Rev. B **75**, 115102 (2007); arXiv: cond-mat/0609404.
- **24**. E. Z. Kuchinskii, N. A. Kuleeva, and M. V. Sadovskii, Письма в ЖЭТФ **100**, 213 (2014) [JETP Lett. **100**, 192 (2014)]; arXiv:1406.5603.
- **25**. E. Z. Kuchinskii, N. A. Kuleeva, and M. V. Sadovskii, ЖЭΤΦ **147**, 1220 (2015) [JETP **120**, 1055 (2015)]; arXiv:1411.1547.
- **26**. E. Z. Kuchinskii, N. A. Kuleeva, and M. V. Sadovskii, ЖЭΤΦ **149**, 430 (2016) [JETP **122** 375 (2016)]; arXiv:1507.07649.
- E. Z. Kuchinskii, N. A. Kuleeva, and M. V. Sadovskii, ΦHT 43, 22 (2017) [Low Temp. Phys. 42, 17 (2017)]; arXiv:1606.05125.

- **28**. Э. З. Кучинский, Н. А. Кулеева, М. В. Садовский, ЖЭТФ **152**, 133 (2017)[JETP **125**, 111 (2017)]; arXiv:1702.05247.
- 29. А. А. Абрикосов, Л. П. Горьков, И. Е. Дзялошинский, Методы квантовой теории поля в статистической физике, Физматгиз, Москва (1963) [A. A. Abrikosov, L. P. Gor'kov, and I. E. Dzyaloshinskii, Quantum Field Theoretical Methods in Statistical Physics, Pergamon Press, Oxford, 1965].
- **30**. М. В. Садовский, Диаграмматика, Москва–Ижевск (2010); М. V. Sadovskii, Diagrammatics, World Sci., Singapore (2006).
- R. Bulla, T. A. Costi, and T. Pruschke, Rev. Mod. Phys. 60, 395 (2008).
- 32. Е. М. Лифшиц, Л. П. Питаевский, Статистическая физика, Часть 2, Гл. 5, Наука, Москва (1978) [E. M. Lifshits and L. P. Pitaevskii, Statistical Physics, Part 2, Ch. 5, Pergamon Press, Oxford (1980)].
- Э. З. Кучинский, М. В. Садовский, СФХТ 4, 2278 (1991) [Superconductivity: Physics, Chemistry, Technology 4, 2278 (1991)].
- 34. E. Z. Kuchinskii and M. V. Sadovskii, Physica C 185–189, 1477 (1991).
- D. Vollhardt and P. Wölfle, Phys. Rev. B 22, 4666 (1980); Phys. Rev. Lett. 48, 699 (1982).
- **36.** P. Wölfle and D. Vollhardt, in *Anderson Localization*, ed. by Y. Nagaoka and H. Fukuyama, Springer Series in Solid State Sciences, Vol. 39, Springer-Verlag, Berlin (1982), p. 26.
- **37**. А. В. Мясников, М. В. Садовский, ФТТ **24**, 3569 (1982) [Sov. Phys.-Solid State **24**, 2033 (1982)].
- **38**. E. A. Kotov and M. V. Sadovskii, Z. Phys. B **51**, 17 (1983).
- M. V. Sadovskii, in Soviet Scientific Reviews Physics Reviews, ed. by I. M. Khalatnikov, Vol. 7, Harwood Academic Publ., NY (1986), p. 1.
- 40. D. Vollhardt and P. Wölfle, in *Electronic Phase Transitions*, ed. by W. Hanke and Yu. V. Kopaev, Vol. 32, North–Holland, Amsterdam (1992), p. 1.